

УДК 553.412.4:553.27

МНОГОМЕТАЛЬНОЕ (Ag, Pb, U, Cu, Bi, Zn, F) АДРАСМАН-КАНИМАНСУРСКОЕ РУДНОЕ ПОЛЕ (ТАДЖИКИСТАН) И ЕГО РУДООБРАЗУЮЩАЯ СИСТЕМА, I: ГЕОЛОГИЯ, МИНЕРАЛОГИЯ, СТРУКТУРНЫЕ УСЛОВИЯ РУДООТЛОЖЕНИЯ

© 2000 г. Ю. Г. Сафонов*, Н. С. Бортников*, Т. М. Злобина*, В. Ф. Чернышев*,
А. Б. Дзайнуков**, В. Ю. Прокофьев*

* Институт геологии рудных месторождений, петрографии, минералогии и геохимии РАН
109017, Москва, Ж-17, Старомонетный пер., 35

** Геологический комитет Северной Осетии
362008, Владикавказ, Алания, просп. Коста, 82

Поступила в редакцию 08.10.99 г.

В статье рассматриваются основные черты геологии, минералогии, геодинамических условий формирования месторождений одного из наиболее значительных рудных полей Срединного Тянь-Шаня – Адрасман-Канимансурского, характеризующегося многометальной рудной минерализацией (Ag, Pb, U, Cu, Bi, Zn, F) при ведущей роли серебряного, свинцового и уранового оруденения. Во второй статье проанализированы физико-химические, термобарометрические и геохимические особенности рудообразования, предложена модель гидротермальной рудообразующей системы, имевший глубинное заложение и сложную историю развития. Показано, что рудообразование происходило в результате вскипания глубинных флюидов при смешении их с метеорными водами и осуществлялось в температурном интервале 120–270°C при pH растворов 5 ± 1 , активности серы и кислорода, соответствующих гематит-магнетит-пиритовой тройной точке. Стадийное развитие минерализации, определившее разнообразие минеральных типов руд, объясняется высокой сейсмотектонической активностью структурно-динамической системы с периодическим вскрытием глубинных флюидо-сборников (коллекторов) – мест накопления, эволюции, дифференциации рудоносных флюидов. Предполагается ярусное размещение таких флюидо-сборников, зависящее от особенностей строения и развития флюидно-магматической системы.

ВВЕДЕНИЕ

Адрасман-Канимансурская рудная провинция, расположенная в известном Карамазарском рудном районе Кураминских гор, примечательна тем, что здесь на сравнительно небольшой площади (15 км^2) локализованы серебро-полиметаллические, медно-висмутовые и флюоритовые руды крупного месторождения Большой Канимансур, а также средне-мелкие урановые, медь-висмутсодержащие месторождения Адрасман и Конторская Зона, серебро-полиметаллические, медь-висмутсодержащие месторождения – Чукур-Джилга, Тарыэкан, Замбарак и медное с висмутом месторождение Каптархона. Добыча серебряных руд на месторождении Восточный Канимансур проводилась еще в VIII–IX веках н. э. и была весьма интенсивной. В то время здесь располагался древний рудник Кухисим, на котором было добыто более 150 тыс. т серебряной руды. Заново Канимансурское месторождение было открыто в 30-е годы нашего столетия во время работы Таджикско-Памирской экспедиции Академии наук СССР, возглавляемой Б.Н. Наследовым. Изучение геологии здесь активно проводили, на-

чиная с 40-х гг., А.В. Королев, Ф.И. Вольфсон, Г.Д. Ажгирей, несколько позже – И.П. Кушнарев, Л. И. Лукин (1986), Е.М. Некрасов, Ю.С. Шихин, Е.Г. Краснов, В.Н. Байков и многие др.

Результаты многих исследований опубликованы, однако в них нет полного анализа условий образования комплексной многометальной рудной минерализации – Ag, Pb, U, Bi, Cu, Zn, F (рудные элементы перечислены в порядке уменьшения их промышленной значимости). Проблема генезиса месторождений рудного поля стала особенно актуальной после оценки масштабов оруденения месторождения Большой Канимансур как крупного (около 30 тыс. т Ag) и публикации данных по урановым месторождениям, относящимся к числу первенцев советской урановой отрасли.

Сочетание крупных скоплений серебро-полиметаллических руд, содержащих висмутовую и урановую минерализацию, с обособленными проявлениями серебро-свинцово-цинковых, урановых, медно-висмутовых и медных руд, связанных с одной верхнегерцинской эпохой металлогенического развития Кураминской рудной области, позволяет предположить функционирование слож-

ной, но единой гидротермальной рудообразующей системы. Реконструкция эволюции этой системы, выявление основных этапов и особенностей ее развития стали основной задачей авторского коллектива. С этой целью нами были проведены исследования структур рудных полей и месторождений, возрастных соотношений минеральных агрегатов разного состава, условий залегания и минерального состава жил, прожилков, особенностей химического состава минералов, флюидных включений и соотношения стабильных изотопов серы и кислорода в минералах, моделирование динамики развития структуры месторождений, физико-химические расчеты устойчивости главных минеральных ассоциаций. Авторами также проанализирован огромный фактический материал, накопленный за многие годы изучения рудного поля другими исследователями.

ГЕОЛОГО-ТЕКТОНИЧЕСКАЯ ПОЗИЦИЯ РУДНОГО ПОЛЯ

Адрасман-Канимансурское рудное поле располагается в центральной части Кураминской рудной области (фиг. 1), входящей в протяженный Бельтау-Кураминский (или Кызылкум-Кураминский) металлогенический пояс. В крайней западной части этого пояса размещаются известные месторождения Мурuntaусского золоторудного района, в крайней восточной – Кайрагач-Кочбулакское золоторудное поле и урановые месторождения (Майликотан, Катта-Сай и др., последние на южном склоне Чаткальского хребта). Золотое, урановое и полиметаллическое оруднение в пределах пояса формировалось в позднегерцинскую металлогеническую эпоху, в завершение верхнекарбонового–раннепермского орогенеза, неодинаково проявившегося в различных частях региона.

Кураминская область характеризуется сложными тектоно-магматическими процессами герцинского цикла. В верхнем карбоне она представляла собой активную континентальную окраину (Далимов и др., 1993). Важное значение в этом развитии имел Ферганский (Северо-Ферганский) глубинный разлом и крупные тектонические нарушения глубинного заложения в пределах континента. Ими определялось блоковое развитие территории, с четкими различиями ее западной, центральной и восточной частей.

Общая мощность земной коры Кураминской области оценивается, по геофизическим данным, в 42–47 км. Здесь выделяются три основных структурных этажа: кристаллическое основание, залегающее, очевидно, на глубинах более 10 км, геосинклинально-орогенный, включающий образования силура–нижней перми и платформенный мезокайнозойский (Вольфсон, Лукин, 1996; Шихин, 1992). В допалеозойском основании пред-

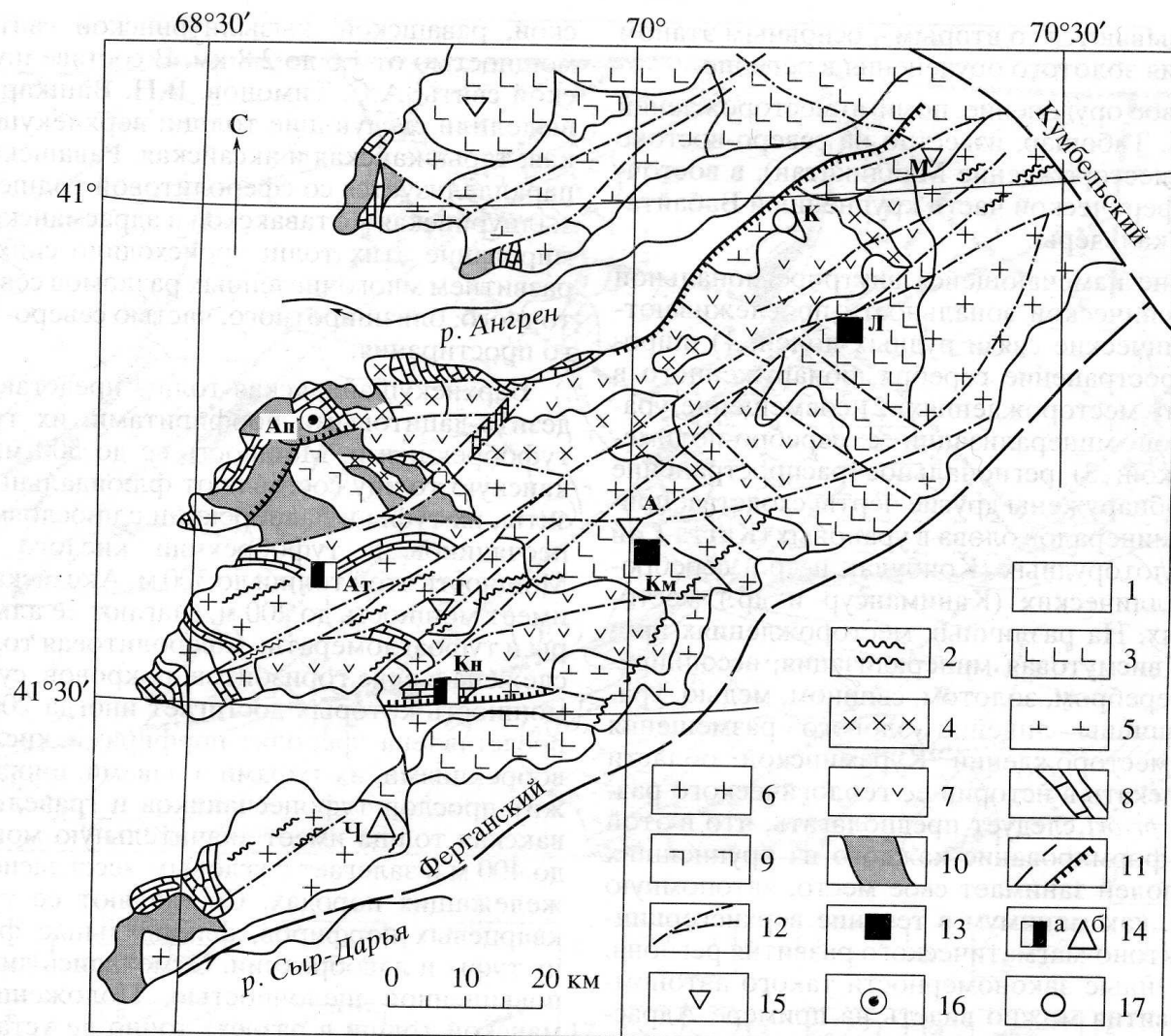
полагается присутствие офиолитовой формации. В ксенолитах установлены амфиболитовые сланцы, базальты, кварциты, гнейсы. Спилит-кератофировые породы отмечаются в песчано-сланцевом комплексе ордовика–силура.

Однако основную массу более поздних, многократно изливавшихся эффузивов составляют породы андезит-риолитового ряда. В стратиграфической последовательности образования эффузивов (основы стратификации были заложены Н.П. Васильковским, 1952) выделяются следующие толщи: катрангинская и калканатинская (D_1), минбулакская (C_2), акчинская и надакская (C_2-C_3), ояйская и кызылнуринская (C_3-P_1). Ранние свиты представлены в основном в восточной части региона, средние – в западной, поздние – в центральной. Поздний вулканизм проявлен наиболее интенсивно и дифференцировано в вулкано-тектонических структурах – кальдерах, мульдах, пропибах, отличающихся по своему строению и спектру вулканитов. В некоторых из них выделены в разрезах надояйские предкызылнуринские толщи: шурабайская, равашская, образованные, судя по последним данным, в тот же временной интервал, что и ояйская, кызылнуринская свиты.

Интенсивные проявления кислого вулканизма и интрузивного магматизма в позднюю стадию герцинского орогенеза – одно из двух наиболее значительных событий в истории магматизма региона, непосредственно связанное с его металлогенией. Другое событие – формирование так называемых карамазарских гранитоидов (C_2) в виде крупных массивов, относящихся в большинстве случаев к лапортитам, реже к этмолитам. Карамазарские гранитоиды вместе с андезит-дацитовой акчинской свитой представляют наиболее распространенный в Кураминской области вулкано-плутонический комплекс пород. Карамазарские гранитоиды, как отмечает Ю.С. Шихин (1991), составляют около 60% объема герцинского структурного комплекса. Они имели важнейшее значение в размещении оруднения. Помимо карамазарского, выделяются не менее четырех комплексов ассоциированных интрузивных и эффузивных пород, малых интрузий и комплекс даек, завершающих магматическое развитие области.

Рудообразующие процессы развивались уже до внедрения даек, но в основном после завершения магматической деятельности. К додайковым относится раннее золото-кварцевое (месторождение Школьное, Апрелевское и др.) и скарново-магнетитовое (Чокадам-Булак) оруднение.

Главные рудные поля региона формировались в пределах ареалов развития малых интрузивных тел и даек позднего комплекса и характеризуются четко выраженной металлогенической специализацией. В Алмалыкском рудном поле сконцентрированы крупные запасы меди, молибдена, зол-



Фиг. 1. Схематическая геологическая карта Кураминской рудной области, составленная с использованием материалов В.Н. Левина, А.Е. Толкунова и др.

1 – четвертичные отложения; 2 – дайковые пояса (диабазовые порфиры, фельзит-порфиры и др.); 3 – площади преимущественного распространения верхнекарбонового–нижнепермского вулкано-плутонического комплекса; 4 – верхнекарбоновые гранит-порфиры; 5 – средне-верхнекарбоновые андезито-дациты, кварцевые порфиры, их туфы; 6 – гранодиориты, граниты, диориты карамазарского типа; 7 – вулканиты среднекарбонового возраста; 8 – верхнедевонские–нижнекарбоновые карбонатные породы; 9 – гранодиорит-порфиры, гранит-порфиры ордовика–силура; 10 – сланцы, роговики, спилиты; 11 – глубинные разломы (а) и надвиги (б); 12 – региональные разломы; 13–17 – месторождения: 13 – гидротермальные свинца, цинка, серебра, флюорита (Км – Большой Канимансур, Л – Лашкерек); 14 – гидротермальные (а) полиметаллические (Ат – Алтын-Топкан, Кн – Кансай) и скарновые (б) вольфрама, молибдена (Ч – Чорух-Дайрон); 15 – гидротермальные урана (А – Адрасман, Т – Табошар, М – Майликатан); 16 – гидротермальные меди, молибдена, золота (Ал – Алмалык); 17 – золота (К – Кочбулак).

лота, Алтын-Топканское рудное поле отличается мощным развитием скарново-полиметаллического оруденения. Кансайское рудное поле значительно уступает Алтын-Топканскому по масштабам концентрации скарново-полиметаллических руд, но отличается от него преобладанием богатых свинцовых руд. Для Алтын-Топканы и Кансая характерна малая значимость медной минерализации в скарново-полиметаллических рудах. Табошар-Канджольское рудное поле характеризуется пространственным совмещением уранового (Табошар), золото-серебряного (Школьное) и серебро-полиметаллического жильного (Канджол) оруденения. В Чорух-Дайронском рудном

поле развиты скарново-шеелитовые и молибденовые руды. Сходно с Адрасман-Канимансурским по профилирующему серебро-полиметаллическому оруденению, но отличается значительно меньшими масштабами Лашкерекское рудное поле. Кочбулакское рудное поле включает собственно Кочбулакское месторождение, золото-барит-кварцевые руды месторождения Кайрагач и другие рудопроявления и отличается крупными концентрациями золота, богатыми рудами. Эти типично эпимермальные золоторудные образования, как и золотоносные медно-порфировые месторождения Алмалыкского рудного

поля, связываются со вторым – основным этапом проявления золотого оруденения в регионе.

Урановое оруденение, помимо месторождений Адрасман, Табошар, известно на северо-востоке региона (месторождение Майликатан), в восточной периферической части крупнейшей Бабайтайдорской кальдеры.

На фоне намечающейся внутрирегиональной металлогенической зональности прослеживаются геохимические связи рудных полей: 1) широкое распространение серебра, обнаруженного в различных месторождениях; 2) совмещение урановорудной минерализации с серебро-полиметаллической; 3) региональное распространение золота. Обнаружены другие черты сходства: присутствие минералов олова в урановых (Катта-Сай и др.), золоторудных (Кочбулак и др.), серебро-полиметаллических (Канимансур и др.) месторождениях. На различных месторождениях проявляется висмутовая минерализация, ассоциирующаяся с серебром, золотом, свинцом, медью, ураном. Причины линейно-узлового размещения рудных месторождений Кураминской области следует искать в истории ее геологического развития. *A. priori* следует предполагать, что в этой истории формирование каждого из крупнейших рудных полей занимает свое место, автономную позицию, как минимум в течение верхнегерцинского тектономагматического развития региона. Определенные закономерности такого автономного развития можно видеть на примере Адрасман-Канимансурского рудного поля.

ГЕОЛОГИЧЕСКОЕ СТРОЕНИЕ РУДНОГО ПОЛЯ

Адрасман-Канимансурское рудное поле приурочено к северо-восточной части Адрасманской (Тавакской) мульды, выделяющейся как ареал интенсивного развития верхнепалеозойских вулканитов эфузивной и субвулканической фаций (фиг. 2). С севера мульда ограничена Баштавакским глубинным разломом, с юга – примыкает к Бирюзовому разлому. На северо-востоке она ограничивается блоком Карамазарских гранитоидов. С запада мульда оконтуриивается по границе распространения верхнекарбоновых–нижнепермских кислых вулканитов.

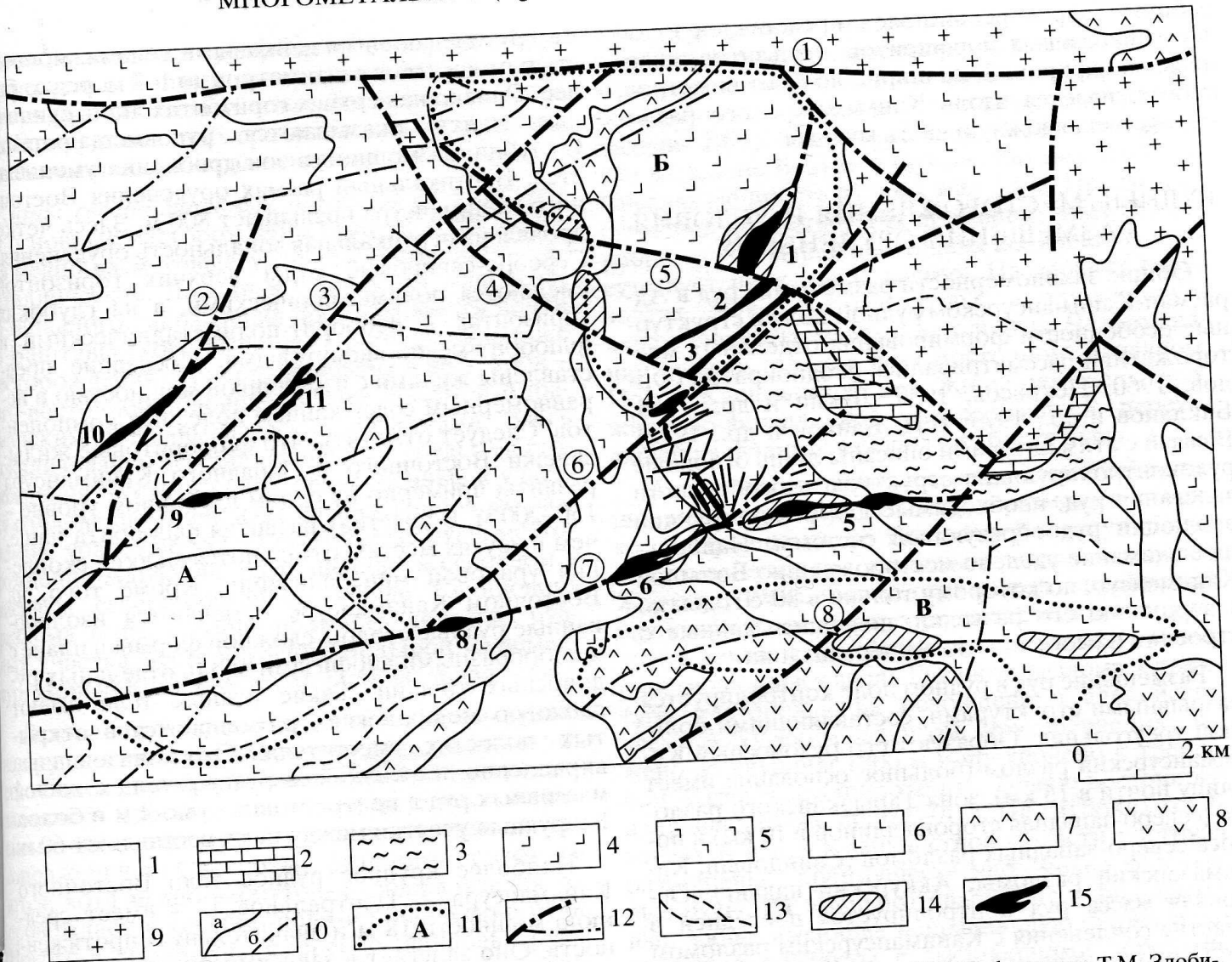
Крайне сложное внутреннее строение мульды определяется развитием разрывных нарушений трех систем: субширотной, северо-восточной и северо-западной, а также малых субвулканических тел и даек. Крупными разломами раннего заложения мульда разбита на ряд тектонических блоков, наиболее значительные из которых отображены на схеме (фиг. 2).

Мульда выполнена верхнекарбоновыми–нижнепермскими эфузивами ояскойской, шурабай-

ской, равашской, кызылнуринской свит общей мощностью от 1.5 до 2.8 км. В составе шурабайской свиты А.С. Тимонов, В.Н. Вашкарин и др. выделили следующие толщи: верхнекушайнакская, тарыэканская и аксайская. Равашская свита параллелизуется со сферолитовой толщей, а кызылнуринская – с тавакской и адрасманской. Формирование этих толщ происходило синхронно с развитием многочисленных разломов северо-восточного, близширотного, частью северо-западного простирания.

Верхнекушайнакская толща представлена андезито-дацитовыми порфиритами, их туфами и туфобрекчиями. Мощность ее до 500 м. Тарыэканскую толщу составляют флюидальные фельзиты, их туфы и лавобрекчии с прослоями туфопесчаников и туфобрекций кислого состава. Мощность этой толщи до 300 м. Аксайская толща имеет мощность до 200 м, слагают ее альбитофиры и туфоагломераты. Сферолитовая толща прослежена в виде горизонтов, покровов, суммарная мощность которых достигает иногда 200 м. Она представлена сферолит-порфирами, кислыми лавобрекчиями, их туфами и лавами, иногда содержит прослои туфопесчаников и гравелитов. Тавакская толща имеет значительную мощность – до 400 м и залегает с угловым несогласием на нижележащих породах. Составляют ее туфоловые кварцевые порфиры, флюидальные фельзиты, их туфы и лавобрекчии. Отмечались липариты с повышенной щелочностью. Положение адрасманской толщи в разрезе точно не установлено. Породы этой толщи – конгломераты, песчаники, глины, чередующиеся с туфо- и лавобрекчиями кварцевых порфиров, – распространены лишь на севере и граничат с другими толщами преимущественно по разломам. По данным В.С. Тимонова, В.Н. Варакина, В.Н. Глазунова, эта толща относится к поздним образованиям кызылнуринской свиты, залегающим несогласно на породах тавакской толщи. Мощность пород адрасманской толщи до 200 м. Некоторые исследователи выделяют в качестве самостоятельной сатгарской толщи осадочных пород: глины, песчаники, конгломераты с прослоями известняков, залегающие в ви-сячем крыле альпийского надвига, прослеженного в центральной части месторождения Канимансур. Здесь размещены и более молодые (верхнемеловые–палеогеновые) отложения – пески, глины, песчаники, известняки, мергели платформенного этажа, общей мощностью около 200 м.

Высокая тектоническая активность района, начиная с момента заложения мульды (C_2-C_1 , по Т.Н. Далимову – D_3-C_1) на протяжении всего периода ее формирования, включая период рудообразования, а также пострудного альпийского орогенеза, обусловила сложное размещение вулканогенных толщ и мелкоблоковое строение территории. В связи с этим общее строение рудо-



Фиг. 2. Геологическая карта Адрасман-Канимансурского рудного поля, составленная Ю.Г. Сафоновым, Т.М. Злобиной, В.Ф. Чернышевым с использованием материалов А.С. Тимонова, В.Н. Вашкарина (1985).

1–3 – осадочные толщи: 1 – аллювиальные и пролювиально-делювиальные супеси, суглинки с валунами и обломками коренных пород (Q), 2 – известняки, мергели, песчаники, глины (P_1), 3 – пески, глины, песчаники (K_2); 4–8 – эфузивно-осадочные образования: 4 – кызылнуринская свита (P_2Kz_2 – конгломераты, песчаники, глины, липарито-дациты и их брекции; P_2Kz_1 – туфолавы кварцевых порфиров, флюидальные фельзиты и их туфы, лавобрекчи), 5 – равашская свита (P_2Tr – сферолит-порфиры, кислые лавы, лавобрекчи, туфы), 6 – шурбасайская свита (P_1Sr_3 – альбитофиры и их туфоконгломераты; P_1Sr_2 – флюидальные фельзиты, их туфы и лавобрекчи; P_1Sr_1 – андезито-дацитовые порфириты, их туфы и туфобрекчи), 7 – оясайская свита (C_3Os_2 – флюидальные фельзиты и сферолит-порфиры, кислые туфы; C_3Os_1 – туфопесчаники, сланцы, известняки), 8 – акчинская свита (C_2-3Ak_2 – андезитовые и андезито-дацитовые порфириты); 9 – гранитоиды карамазарского типа (C_2); 10 – геологические границы: укрупненных стратиграфических единиц (а) и внутри стратиграфических единиц (б); 11 – границы палеовулканов: А – Аксайский, Б – Адрасманский, В – Кушайнакский; 12 – разломы (цифры в кружках): 1 – Баштавакский, 2 – Замбаракский, 3 – Тарызаканский, 4 – Карамазарский, 5 – Свинцовый, 6 – Адрасманский, 7 – Канимансурский, 8 – Кошмулинский; 13 – альпийские надвиги; 14 – некики; 15 – рудные месторождения (проекции на горизонтальную плоскость основных рудных тел и зон вне масштаба): 1 – Адрасман (U–Cu–Bi), 2 – Конторская зона (U), 3 – Чукур-Джилга (Pb, Cu, Zn), 4 – Новый Канимансур (Pb, Cu, Zn, Ag), 5 – Адрасман (U–Cu–Bi), 6 – Западный Канимансур (Ag–Pb–Zn), 7 – Штокверк Большого Канимансура (Ag–Pb–Zn–Cu), 8 – Каптархона (Cu–Bi), 9 – Аксай (Cu–Bi), 10 – Замбарак (Cu, Pb, Zn), 11 – Тарызакан (Cu–Bi, Pb, Zn).

вмещающей структуры как мульды проседания устанавливается по фрагментам. Залегание верхнепалеозойских эфузивов трактуется рядом исследователей как моноклинальное с падением на север, к Баштавакскому разлому. По данным Ю.С. Шихина и др. (1992), Баштавакский разлом – главная зона излияния эфузивов. Детальное геологическое картирование показывает существование

вление мелких трещинных каналов извержений и небольших по размерам субвулканических тел, частью отражающих дополнительные центры извержений.

Как особый вид структурных элементов выделяются дайковые пояса, или, точнее, части крупных дайковых поясов регионального масштаба. Наиболее значительный из них на территории

района – Бурочарский пояс – представлен зоной даек диабазовых порфиритов, фельзитов, кварцевых порфиров. Зона шириной в сотни метров, прослеживается вдоль Канимансурского разлома, пересекая южную часть мульды.

РУДНЫЕ МЕСТОРОЖДЕНИЯ И УСЛОВИЯ РАЗМЕЩЕНИЯ ОРУДЕНЕНИЯ

Общие закономерности размещения руд в Адрасман-Канимансурском рудном поле и структурные особенности формирования отдельных месторождений рассматривались неоднократно (Орлов, 1960; Некрасов, 1959; Лукин и др., 1968; Бакланов и др., 1975; В.Н. Байков и др., 1982). В связи с этим авторами описаны лишь основные рудоконтролирующие структуры и особенности залегания руд, необходимые для реконструкции эволюции рудообразующей системы. Наибольшее внимание удалено месторождению Большой Канимансур, по которому только в 80-е годы, по завершению его разведки, появились данные о строении и особенностях минерализации.

Размещение руд в рудном поле контролируется разрывными структурами, составляющими большой треугольник. Образуют его рудоносный Канимансурский разлом (большое основание имеет длину почти в 15 км), зона Тарыэканского разлома (северо-западная сторона длиной в 10 км) и полоса северо-западных разломов (Свинцовый, Карагазарский разломы, Аккурский надвиг). Основная масса руд контролируется последней в участке сочленения с Канимансурским разломом в пределах площади 2 × 3 км.

В зоне Канимансурского разлома, как видно на схеме (фиг. 2), размещаются (с запада на восток): мелкие медные месторождения Алмадон и Каптархана и ранее выделявшиеся как самостоятельные полиметаллические месторождения Западный и Восточный Канимансур, разделенные безрудным интервалом примерно в 1 км.

На месторождении Каптархана жильные рудные тела размещаются в участках сопряжения разрывов, на месторождении Алмадон – в участках сближенных субпараллельных смеcтителей. В участках локализации полиметаллических месторождений Канимансурский разлом круто падает на юг. Рудные тела Восточного и Западного Канимансура представлены минерализованными зонами дробления, жильными и линзообразными телами массивных руд, зонами прожилково-вкрашенной минерализации. Характерно, что на верхних горизонтах, в кислых вулканитах, рудные тела контролируются, главным образом, сетью ветвящихся продольных тектонических швов, на нижних – зонами дробления приkontактовых частей даек и андезитовых порфиритов. Следует подчеркнуть насыщенность зоны разло-

ма крутопадающими дайковыми телами, мощностью от десятков сантиметров до 1–2 м, редко более. Однако на верхних горизонтах лишь единичные дайки оказываются рудовмещающими. С глубинной мощность зон дробления уменьшается. Вертикальный размах оруденения Восточного Канимансура превышает 800 м. Здесь четко проявлена вертикальная зональность оруденения. Серебро-свинцовые руды верхних горизонтов сменяются полиметаллическими, а на глубоких горизонтах – флюорит-полиметаллическими и флюорит-медно-висмутовыми. Последние представлены жилами с изменчивой мощностью и неравномерным содержанием полезных компонентов. Следует отметить, что флюоритовые жилья-залежи Восточного и Западного Канимансура развиты примерно на одном глубинном уровне – 150–200 м. В участках развития флюорита чаще, чем в других местах, отмечаются мелкие скопления урановой минерализации. Кроме того, на Восточном Канимансуре отмечаются изолированные рудные столбы сложной формы в плане с жилообразными апофизами вдоль отдельных рудоносных трещин. Такие рудные тела имеют сложную морфологию, размещаются в открытых полостях смеcтителя. Это линзовидные вкрашенно-прожилковые рудные тела с жилой массивных руд в центре мощностью 2 м и более. Безрудные участки между ними составляют 60 м.

Наиболее крупное рудное тело Восточного Канимансура – “Центральное 1” – имеет среднюю мощность 18 м и значительную протяженность. Оно залегает в зависимости от изгиба рудовмещающего разлома. На участках с крутыми углами падения разлома мощность тела уменьшается. Наибольшие мощности отмечаются в участках относительно менее крутого залегания зоны (до 70°). Падение рудного тела аналогично падению рудовмещающего тектонического шва. Наиболее значительные рудные тела полиметаллических и серебро-свинцовых руд в Западном Канимансуре расположены в висячем боку Канимансурского разлома, а в Восточном – в лежачем боку разлома. Протяженность Центрального рудного тела 1300 м, мощность до 40 м. По падению тело прослежено до глубины 250–450 м (Восточный Канимансур). Наиболее крупное тело Западного Канимансура – “Линза 1” – имеет такую же форму, как и описанное рудное тело “Центральное 1”, но размеры его значительно меньше. Глубина размещения руд здесь 50–100 м от современной дневной поверхности. Наибольшая мощность рудного тела в центре 3.5–3.2 м. Вверх и вниз мощность жилы (линзы) уменьшается до 0.8–1.0 м. Интрапрудные подвижки по разлому обусловили брекчирование как вмещающих пород, так и руд. Серебро-свинцовые рудные тела, размещающиеся на верхних горизонтах, имеют форму сложных жил, сопровождающихся зонами прожил-

ково-вкрапленной сульфидной минерализации. В вертикальной проекции рудоносной зоны выделяются рудные столбы, имеющие крутое склонение. Эти рудные столбы разделены протяженными участками слабоминерализованных пород.

Зоны северо-западных разломов контролируют основные месторождения рудного поля, включая медно-висмутовые, урановые и серебро-полиметаллические. Линейная рудоносная зона северо-западного направления прослеживается почти до Баштавакского разлома. Промышленные же месторождения сконцентрированы в ее южной – юго-восточной половине, ограниченной Адрасманским и Канимансурским разломами. Здесь локализованы серебро-свинцовые руды месторождения Чукур-Джилга, приуроченные к участку сочленения Адрасманского и Свинцового разломов; урановые-медно-висмутовые руды месторождения Адрасман, размещенные в основном в высочем северо-восточном крыле Свинцового разлома и два серебро-полиметаллических рудных участка месторождения Большой Канимансур: Новый Канимансур, Меридиональная Зона.

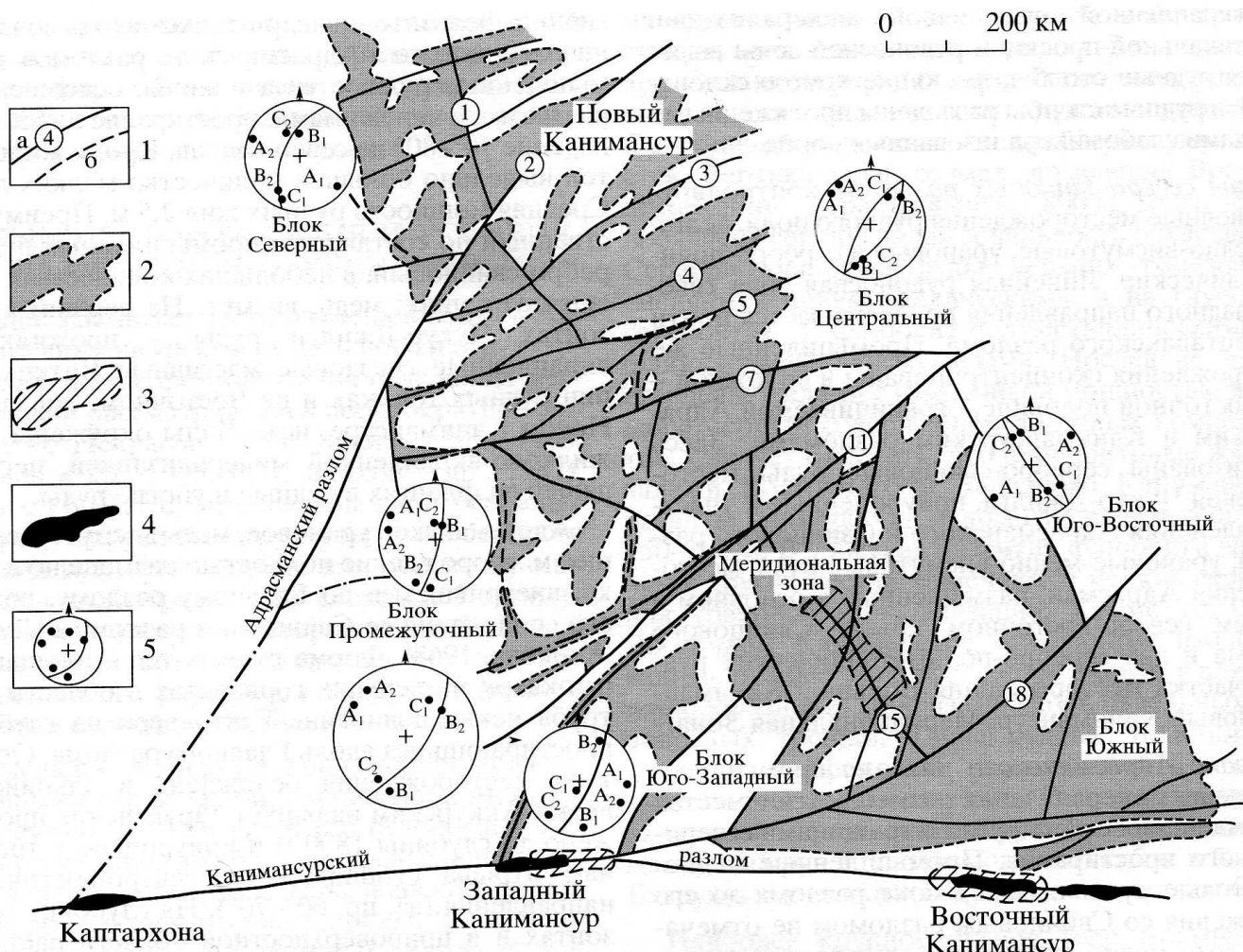
В зоне Адрасманского разлома промышленная рудная минерализация размещается в местах его сочленения с разломами и трещинами северо-западного простирания. Промышленные медно-висмутовые рудные тела в зоне разлома до его сопряжения со Свинцовым разломом не отмечаются, хотя медно-висмутовая минерализация сопровождает и серебро-полиметаллические руды Нового Канимансура, и серебро-свинцовые руды Чукур-Джилги. Руды Нового Канимансура залегают среди переслаивающихся эффузивных пород различного состава (от кушайнакской до адрасманской толщи). Рудные тела распространены в глубинном интервале от 80 до 300 м. Месторождение Чукур-Джилга расположено в однородных туфоловых кварцевых порфиров адрасманской толщи. Рудные тела выходят на дневную поверхность. Слабоминерализованный интервал по зоне Адрасманского разлома между Новым Канимансуром и Чукур-Джилгой имеют длину от 100 до 200 м. С учетом уранового месторождения Адрасман, разлом рудоносен (с перерывами) на протяжении более 6 км.

На Чукур-Джилге основными рудовмещающими структурами являются трещины и зоны дробления восток-северо-восточного простирания, северо-западного падения, заблокированные нарушениями северо-западного простирания (Некрасов, 1980). Очевидно, на формирование структуры месторождения имело влияние сопряжение Адрасманского и Свинцового разломов. Северо-восточнее этого сопряжения полиметаллические руды не прослеживаются, но широко развиты медно-висмутовая и гематитовая минерализации. На месторождении вскрыт крупный шток интру-

зивных фельзитов, внедрившихся вдоль сочленения Свинцового и Адрасманского разломов. Промышленные рудные тела – жилы, осложненные раздувами и пережимами, простирание их 55° – 65° , падение 70° – 80° на северо-запад. Кроме жильных тел выделено большое количество мелких линз. Средняя мощность рудных жил 2,5 м. Преимущественный по составу тип промышленных руд – серебро-свинцовый, в небольших количествах присутствует цинк, медь, висмут. На верхних горизонтах Чукур-Джилги руды – прожилково-вкрапленные, гнездовые, массивные. Четких границ рудных тел, как и на Восточном, Западном, Новом Канимансуре, нет. Жилы окружены прожилково-вкрапленной минерализацией, переходящей на флангах в бедные и убогие руды.

Адрасманское урановое, медь-висмутосодержащее месторождение полностью размещено в некке, внедрившемся по Главному разлому, вблизи его сочленения со Свинцовым разломом (Лукин, Жаркова, 1968). Форма рудных тел – площадной штокверк на верхних горизонтах в области расструба некка и линейный штокверк на глубине, простирающийся вдоль Главного разлома. Структура месторождения осложнена в альпийское время Аккурским надвигом. Оруденение прослежено до глубины 1800 м и приурочено к трещинам отрыва субширотного, северо-восточного направления (аз. пр. 60° – 70°). На глубоких горизонтах и в приповерхностной области расструба размещены, преимущественно медно-висмутовые руды. Их вмещают кварцевые и флюоритовые жилы, имеющие неправильную форму и извилистые контакты с вмещающими породами. Жилы не выдержаны по простиранию, образуют раздувы и пережимы. Наиболее значимые по размерам тела урановых руд – линзообразные и линейные штокверки – прослежены на средних горизонтах. Эти тела составляют кальцит-уранинитовые прожилки небольшой мощности, пересекающие кварцевые жилы. В лежачем боку Свинцового разлома в субпараллельных разлому трещинах выделена Конторская зона. Оруденение здесь представлено кальцит-уран-смолковыми прожилками, размещенными в кварцевых жилах северо-восточного простирания.

Особенность структуры Нового Канимансура состоит в автономном развитии его тектонических блоков (Злобина, 1989, 1991). Являясь частью рудной зоны субмеридионального, северо-западного направления, рудные тела имеют ориентировку, подчиненную нарушениям северо-восточного простирания. Самое крупное тело серебро-полиметаллических руд Нового Канимансура локализуется в одном из швов Адрасманского разлома. Кроме того, рудовмещающими являются субпараллельные швы оперяющие трещины северо-западного и субширотного простираций. Рудовмещающие структуры сопровождаются зонами дробления



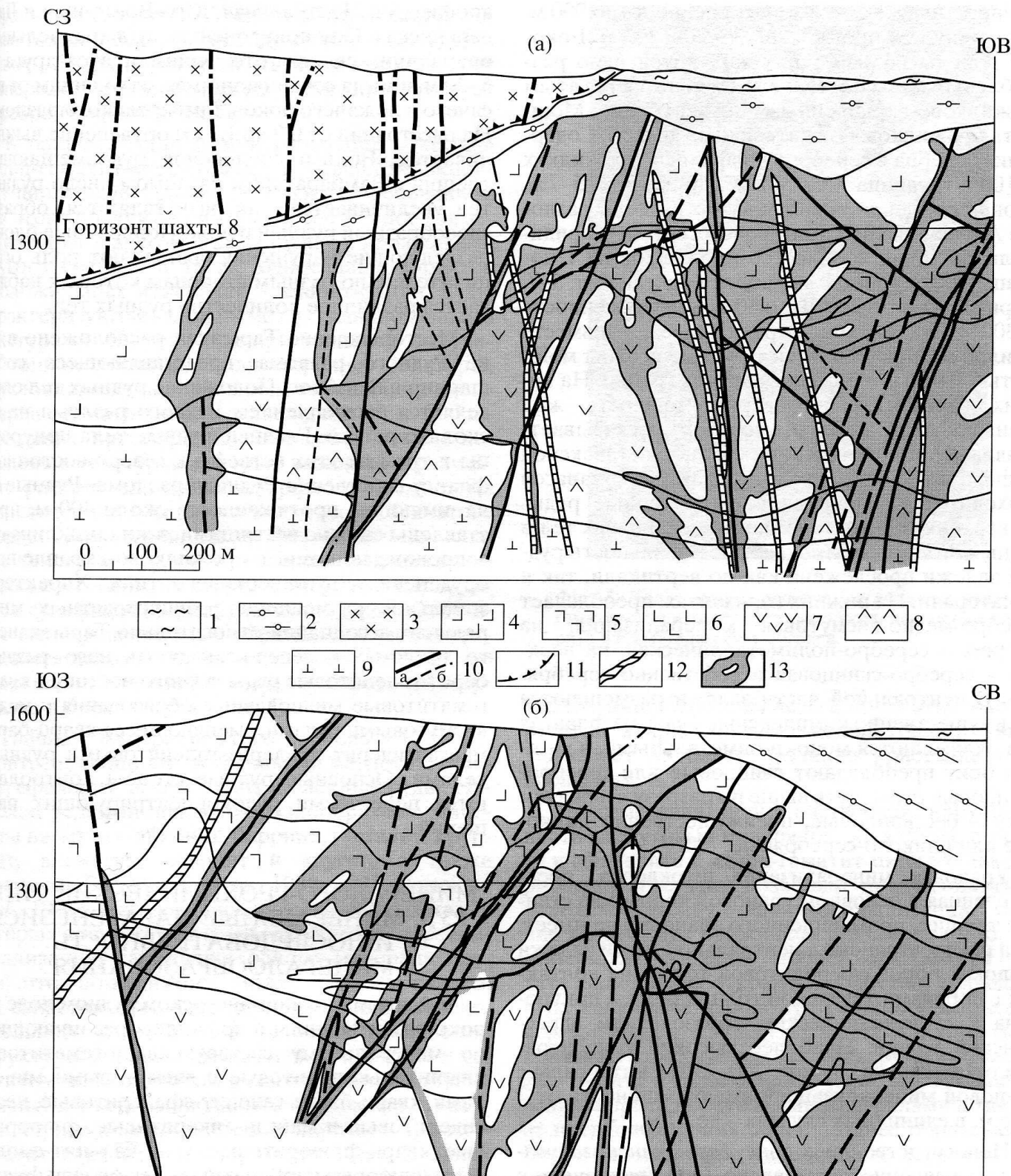
Фиг. 3. Тектоническая схема-план горизонта 1305 м рудного штокверка Большого Канимансура, составленная Т.М. Злобиной, А.Б. Дзайнуковым с использованием материалов Кайраккумской ГРЭ.

1 – разломы и их номера: по разведочным данным (а), по геофизическим данным (б); 2 – вкрапленные руды; 3 – некк вулканический; 4 – массивные руды; 5 – диаграммы максимумов осей синрудных деформаций блоков I порядка и блоков II порядка.

пород. Рудные жильные тела небольшой мощности (5–8 см) размещаются в висячем боку разлома. Руды таких жилок массивные. Сопровождают эти жилки многочисленные прожилки, локализованные в мелких трещинах, параллельных основному шву разлома. Мощность прожилков от нитевидных до 1–2 см. Объединяет жилы и прожилки рассеянная вкрапленная минерализация. В целом густая сеть прожилков и вкрапленная минерализация между ними формирует рудный столб с жилой небольшой мощности в центре. Рудный столб простирается на глубокие горизонты месторождения параллельно Адрасманскому разлому, имеет круто опадающие апофизы. По мере удаления от рудного столба расстояние между прожилками резко увеличивается.

Объединяет рудные зоны Восточного, Западного Канимансура, Чукур-Джилги крупный штокверк Меридиональной Зоны, располагающийся вдоль одноименного разлома север-северо-западного простирания от Канимансурского

до Адрасманского разломов. Три ее северных тектонических блока (Северный, Центральный и Промежуточный) относятся к Новому Канимансуру, а три южных (Юго-западный, Юго-восточный и Южный) – к собственно Меридиональной Зоне. В 80-е годы эта группа месторождений была названа Большими Канимансурами. Залегание Меридиональной Зоны скрытое. На горизонтальной проекции общая протяженность штокверка 2 км, в поперечнике – до 800 м, по вертикали – до 400 м. Границы рудной залежи сложные, с крутыми апофизами вверх и вниз. Она вытянута в северо-западном направлении (фиг. 3) со склонением к северо-востоку. Ее сопровождают несколько более мелких тел, приуроченных к тектоническим зонам субмеридионального и северо-западного направления и к оперяющим трещинам. В породах благоприятных по физико-механическим свойствам, обнаружены раздувы и пологопадающие апофизы (фиг. 4). Залежь включает жилы, плито- и линзообразные тела



Фиг. 4. Геологические разрезы рудного штокверка Большого Канимансура (а – субмеридионального простирия Центрального блока, б – субширотного простирия Юго-западного и Юго-восточного блоков).

1 – четвертичные отложения (пески, глины, песчаники); 2–9 – эфузивно-осадочные образования: 2 – нижнепермские отложения саттарской подсвиты (глины, песчаники, гравелиты, конгломераты с прослоями известняков), 3 – адраманской подсвиты (конгломераты, песчаники, глины, липарито-дациты и их брекчии), 4 – тавакской подсвиты (туфоловы кварцевых порфиров, флюидальные фельзиты, их туфы, лавобрекчии), 5 – сферолитовой подсвиты (сферолит-порфиры, кислые лавы, лавобрекчии, туфы), 6 – верхнепермские отложения тарыэканской подсвиты (флюидальные фельзиты, их туфы, лавобрекчии), 7 – нижнепермские, верхнекарбоновые кушайнакской подсвиты (андезито-дацитовые порфиры, их туфы, туфобрекчии, сферолит-порфиры, кислые туфы), 8 – кызылтаусской подсвиты (туфопесчаники, сланцы, известняки), 9 – нижнекарбоновые алмалысайской подсвиты (липариты); 10 – разломы III–IV порядков (а) и подчиненного порядка (б); 11 – альпийский надвиг; 12 – дайки; 13 – рудные тела.

мощностью до 2–3 м. Их протяженность до 900 м, на глубину они прослежены до 200–300 м. Боковые породы вблизи таких жил интенсивно раздроблены, жилы постепенно сменяются богатым прожилково-вкрашенным оруденением. Мощность прожилков – от нитевидных до 5 см. Содержания серебра в серебро-сульфидных прожилках до 100 г/т, свинца – до 5–10%, цинка – до 5–7%. В зонах сгущения трещиноватости вдоль разломов Адрасманского, Канимансурского и Меридиональной зоны, количество прожилков на 1 пологонный метр горной выработки составляет 5–7. Ширина таких зон от 10 до 30 м, а протяженность до 300 м. Прожилково-вкрашенные зоны вместе с жилой в центре образуют рудные столбы мощностью 10–20 м и более без четких границ. На нижних горизонтах штокверка мощность жил уменьшается. На средних горизонтах оказывается влияние высокопроницаемых пород тавакской и сферолитовой толщ – основная масса запасов приходится на прожилково-вкрашенные руды. На верхних горизонтах мощность жильных тел и рудных столбов увеличивается. Зональность рудной залежи прослежена как по вертикали, так и по латерали. На нижних горизонтах, преобладает серебро-медно-висмутовая минерализация, на средних – серебро-полиметаллическая, на верхних – серебро-свинцовая и собственно серебряная. В центральной части залежи размещаются преимущественно комплексные руды, на флангах они окаймляются моно- и биметальными, в висячем боку преобладают свинцовые или серебро-свинцовые руды, чуть выше по разрезу в лежачем боку – бессвинцовые, преимущественно цинковые или цинково-серебряные.

Урановая минерализация штокверка, представленная в основном урановой чернью на стенах трещин, промышленного значения не имеет. Она распространена в центральной части залежи в блоках пород сферолитовой толщи на контактах с породами тавакской толщи, реже – приурочена к суббулканическим образованиям адрасманской толщи. Наиболее высокие концентрации отмечены на глубине 200–250 м, интервалы с урановой минерализацией имеют мощность от 2 до 6 м, в единичных случаях – до 17 м.

Непосредственно в зоне Тарыэканского разлома оруденение не выявлено. Оно приурочено к сочленению двух локальных разломов (Замбаракского и Рудного) с Тарыэканским, где последний испытывает перегиб и расщепляется на две ветви (Некрасов, 1980). Для месторождений Замбарак и Тарыэкан характерны достаточно большая протяженность оруденения (до 1.3 км) и вертикальный размах до 400 м, разветленность рудных тел вверх по восстанию. Месторождение Замбарак составляют три рудные зоны, представляющие собой барит-сфалерит-галенитовые жилы, гнезда и прожилки с многочисленными

апофизами: Центральная, Юго-Восточная и Давдарынская. Они приурочены к субпараллельным оперяющим сколам, отстоящим друг от друга на 5–20 м, иногда соединяющимся, отходящим от висячего и лежачего боков Замбаракского разлома. На расстоянии от 0.7 до 1.3 км оруденение выклинивается. Вблизи сочленения рудовмещающие трещин с Замбаракским разломом число рудных тел увеличивается, они разветвляются, образуя своеобразный рудный пучок. Поперечные блоки, разделяющие нарушения, выполняют роль ограничителей, по разным сторонам которых наблюдается различное количество рудных тел.

Месторождение Тарыэкан расположено в зоне Рудного разлома, представляющего собой шарнирный взброс. Положение рудных тел определяется расщеплением Рудного разлома на несколько ветвей. Главные рудные тела приурочены к трем из этих ветвей и к северо-восточному флангу собственно Рудного разлома. Рудные тела, имеющие протяженность около 400 м, представлены сложно ветвящимися жилами, линзами, сопровождающимися прожилково-вкрашенным оруденением штокверкового типа. Характерно зональное размещение разновозрастных минеральных ассоциаций относительно Тарыэканского разлома: к северо-западу от него развиты барит-галенитовые руды, а к юго-востоку – кварц-гематитовые минеральные образования с медно-висмутовыми рудами, смещающиеся кварц-барит-мангансиерит-сфалерит-галенитовыми рудными телами. Основные рудные столбы контролируются перегибами рудоконцентрирующих нарушений.

МИНЕРАЛОГО-ГЕОХИМИЧЕСКИЕ ТИПЫ РУД, МИНЕРАЛЬНЫЕ ПАРАГЕНЕЗИСЫ И ПОСЛЕДОВАТЕЛЬНОСТЬ МИНЕРАЛООБРАЗОВАНИЯ

В Адрасман-Канимансурском рудном поле широко развиты жилы и прожилки, различающиеся по минеральному составу: кварц-гематитовые, кварц-халькопиритовые с висмутовыми минералами, кварц-барит-галенит-сфалеритовые, кварц-сиеритовые и мangan-анкеритовые, флюоритовые, кварц-флюоритовые, уран-кальцит-смолковые, флюорит-карбонатные. Кварц-сульфидные и кварц-гематитовые прожилки сопровождаются интенсивной хлоритизацией вмещающих вулканитов. В зальбандах кварц-баритовых, кварц-сиеритовых и флюоритовых жил вмещающие породы преимущественно березитизированы. Прожилки уран-смолкового состава развиваются по кальциту. В целом минеральный состав жил и прожилков разнообразен. По преимущественному развитию главных рудообразующих минералов и полезных компонентов на территории рудного поля и месторождений выделяются следующие ми-

неральные типы руд: 1) медно-висмутовые; 2) полиметаллические; 3) серебро-свинцовые; 4) урановые, 5) флюоритовые. Причем в рудах всех минералого-геохимических типов присутствует серебро (Сафонов, 1967).

К раннему периоду минерализации отнесены кварц-гематит-хлоритовые и кварц-халькопирит-пиритовые прожилки и жилы. Основанием для этого послужили их пространственное совмещение друг с другом и разобщение с прожилками другого состава, а также однотипный характер окологильных изменений – хлоритизации. Руды характеризуются сложными и разнообразными текстурами. Широкое распространение получили тонкополосчатые колломорфные текстуры, обусловленные чередованием халцедоновидного кварца с гематитом или сульфидами (фиг. 5). Наблюдались крустикационно-полосчатые и карковые текстуры, которые возникли в результате раскристаллизации аморфного кремнезема и последующего нарастания на них гребенчатого кварца. Характерны также фестончато-полосчатые текстуры руд, обусловленные чередованием полос, состоящих из кварца с хлоритом и гематитом и сульфидов (пирита и халькопирита). Описанные выше минеральные образования часто пересекаются маломощными прожилками (до 1–1.5 см) с вкрапленностью висмутовых сульфосолей, карбоната и блеклых руд (фиг. 5).

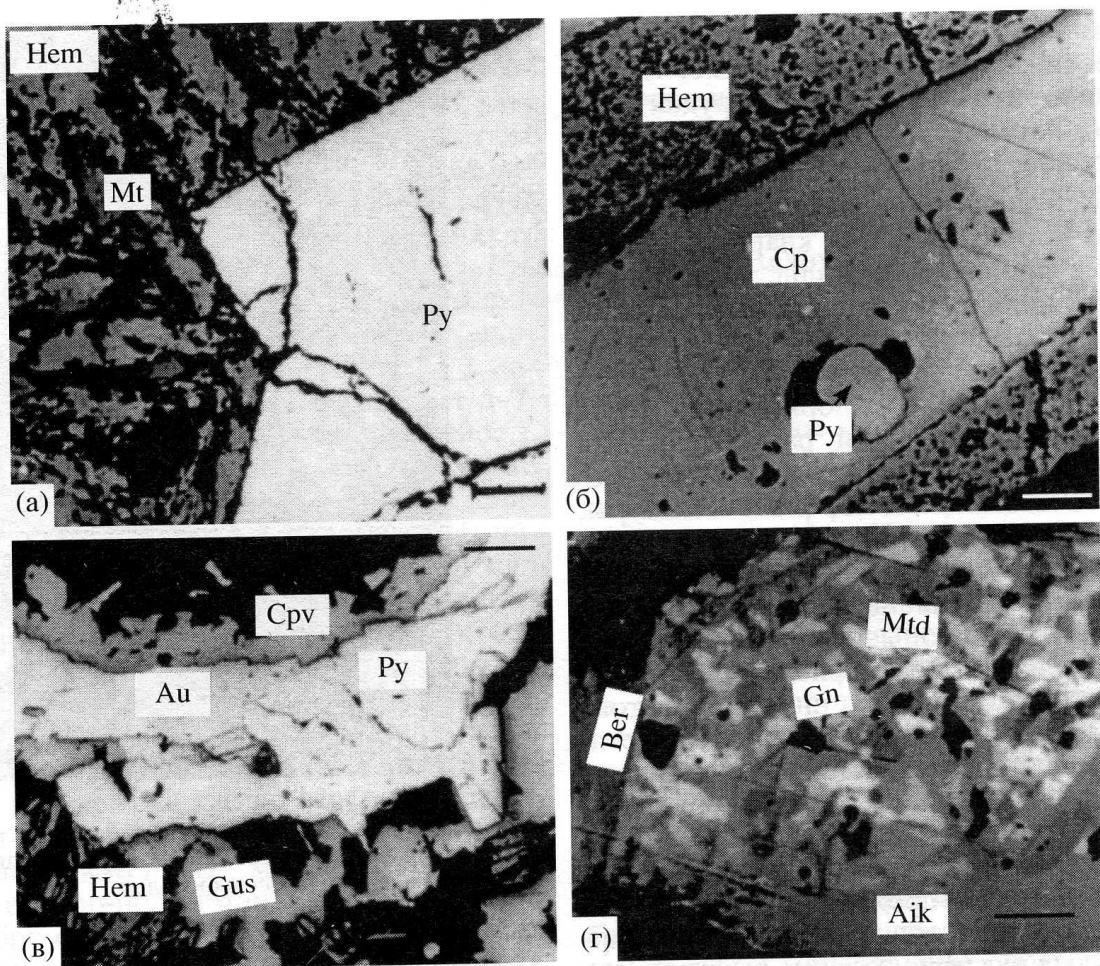
Главные минералы этого периода – гематит, пирит, халькопирит; встречаются магнетит, галенит, сфалерит, арсенопирит и блеклые руды. Наиболее редкими являются разнообразные минералы висмута – айкинит, беррийт, густавит, крупкаит, висмутин, павонит и другие, а также электрум (Бортников и др., 1985; 1995; Bortnicov *et al.*, 1991). Наблюдались участки рудных тел, в которых отсутствуют следы дробления, перекристаллизации, замещения одного минерала другим, что, по-видимому, может рассматриваться как свидетельство одновременного или последовательного отложения в условиях равновесия. Структурные соотношения между пиритом и гематитом или гематитом и магнетитом различны. В одних случаях наблюдаются включения гематита в пирите в метакристаллах пирита, в других – гематит нарастает на пирит (фиг. 6а). В одних участках очевидно замещение гематита магнетитом, в других – магнетит замещается гематитом. Такие соотношения минералов интерпретированы как результат близкой по времени кристаллизации в условиях, близких к граничным, устойчивости минералов железа. Халькопирит – наиболее поздний минерал: он заполняет интерстиции между зернами пирита и гематита (фиг. 6б). Замещение халькопиритом ранних минералов не происходит. Чередование кварц-гематит-хлоритовых агрегатов и халькопирит-сульфосольных свидетельствует о разрыве во времени их крис-



Фиг. 5. Колломорфно-полосчатые агрегаты кварц-гематит-хлоритового состава с вкрапленностью пирита и висмутовых сульфосолей.

таллизации. Пересечение кварц-гематитовых агрегатов кварц-пирит-халькопиритовыми также указывает на более позднюю кристаллизацию последних.

Повсеместная пространственная приуроченность висмутовых минералов, электрума, галенита и сфалерита к кварц-гематит-пирит-халькопиритовым агрегатам позволяет предположить их отложение в одну стадию минерализации. Наличие же секущих прожилков указывает на то, что минералообразование, происходившее в результате выполнения открытых полостей, приводило к их закупорке и новому трещинообразованию под давлением флюида. Развитие микропрожилков висмутовых минералов, электрума и сфалерита в пирите и халькопирите (фиг. 6в), замещение халькопирита висмутовыми минералами позволяет предположить их более позднее образование. Беррит и матильдит-галенитовые агрегаты выполняют интерстиции между пластинками айкинита. Мирмекитоподобные срастания матильдита и галенита (фиг. 6г) указывают на образование висмутовых минералов путем замещения ранее отложенных сульфовисмутитов свинца. Интересно отметить, что сульфиды раннего периода минерализации, особенно пирит, часто представлены идиоморфными зернами. По-видимому, в их образовании существенная роль принадлежала процессам взаимодействия флюида с вмещающими породами – сульфидизация железосодержащих силикатов. Активную роль играют метасо-



Фиг. 6. Структуры срастания минералов кварц-гематит-халькопиритовой стадии.
 а – идиоморфные зерна пирита (Py) и гематита (Hem), гематит замещается магнетитом (Mt), б – идиоморфные зерна гематита (Hem) цементируются халькопиритом (Cp), отсутствуют свидетельства замещения одного минерала другим; в – обрастание пирита (Py) висмутовыми сульфосолями, выполнение трещин в пирите агрегатом из самородного золота (Au) и купропавонита (Cpv); г – мирмекитовые срастания матильдита (Mt) и галенита (Gn) между игольчатыми выделениями берририта (Ber) и айкинита (Aik).

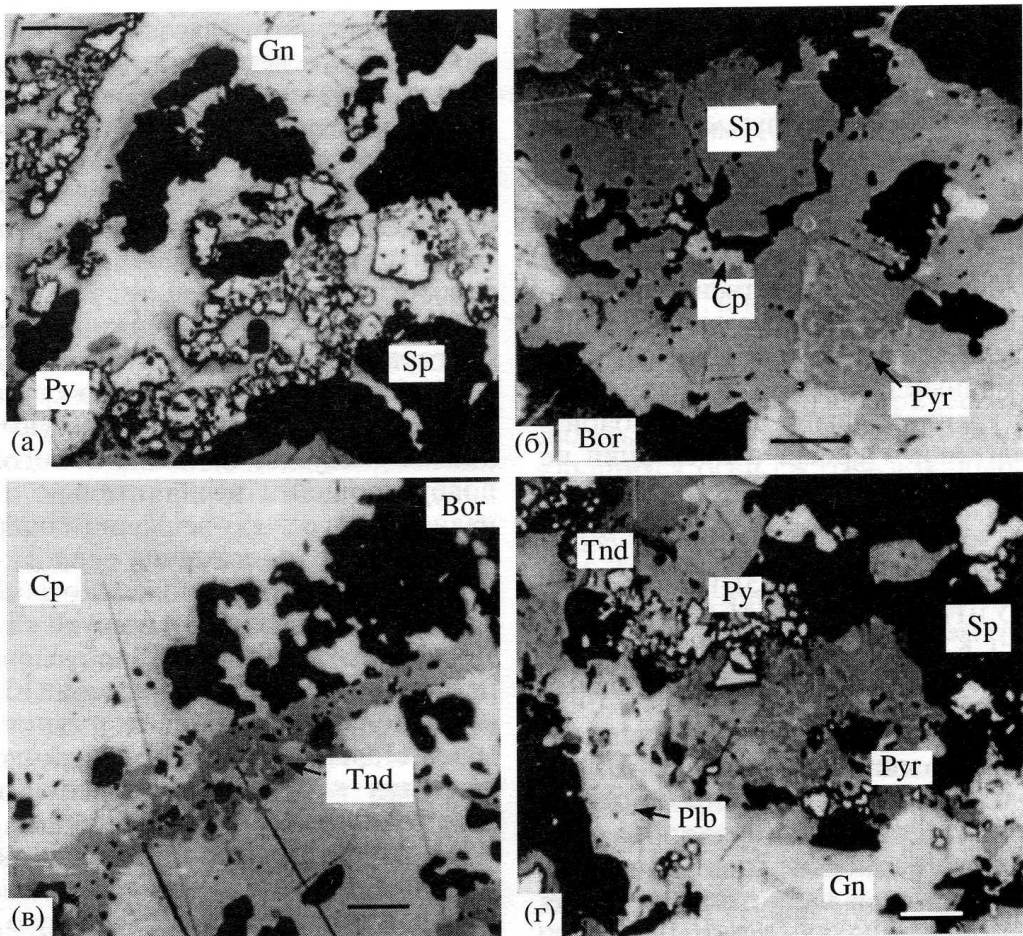
Месторождения: а, б – Канимансур, в, г – Тарыэкан. В отраженном свете, масштабная линия – 0.1 мм (а–в) и 0.01 мм (г), г – николи скрещены в масле.

матические процессы при отложении сульфовисмутитов меди и серебра, электрума и сфалерита. Это позволяет полагать, что поздние парагенетические минеральные ассоциации формировались в результате обменных реакций гидротермальных растворов, закапсулированных в мелких трещинках, полостях, с ранее отложившимися минеральными агрегатами. Образование идиоморфных зерен указывает на их относительно медленную кристаллизацию.

К более поздним образованиям относятся флюорит-сульфидные жилообразные тела, галенит-сфалерит-баритовые жилы и зоны прожилково-вкрашенной минерализации. Минеральный состав прожилков различен: это кварц-сульфидные, барит-сульфидные и флюорит-сульфидные агрегаты. Нередко прожилки разного состава выполняют трещины одной и той же системы, либо постепенно изменяют состав. Это, а также одинаковый тип окаторудных изменений – бере-

зитизация – послужили основанием для отнесения их к продуктам одного периода минералообразования.

Наиболее ранний минерал – это пирит, после него отлагались сфалерит, блеклая руда, халькопирит и борнит. Эти минералы (в особенности пирит) слабо катализированы, рассекаются и замещаются галенитом (фиг. 7а). Сфалерит отлагался раньше блеклой руды, но интенсивное замещение сфалерита блеклой рудой происходило крайне редко. Блеклая руда замещается галенитом, рассекается галенитовыми прожилками. Встречены также цепочечные выделения и прожилки блеклой руды в галените, указывающие, что часть блеклой руды отложилась до галенита, а часть ее образовалась после галенита. Неоднозначны взаимоотношения блеклой руды и борнита. Наблюдались округлые выделения борнита, сфалерита и блеклой руды без явных признаков выражений замещения одного минерала другим. Од-



Фиг. 7. Структуры срастания минералов серебро-полиметаллической стадии.
 а – реликты пирита (Py) и сфалерита (Sp) в галените (Gn); б – галенит-халькопирит (Cp)-борнитовые (Bor) прожилки в сфалерите, мирмекитовые срастания пираргирита (Pyr) с галенитом; в – прожилок блеклой руды (Tnd) рассекает халькопирит-борнитовые агрегаты; г – прожилки галенита и серебряных сульфосолей в сфалерите, мирмекитовые агрегаты пираргирита и полибазита (Plb). В отраженном свете, масштабная линия – 0.1 мм; месторождения: а – Замбарак, б–г – Канимансур.

нако были обнаружены борнит-халькопиритовые прожилки, секущие блеклую руду и сфалерит (фиг. 7б). Интересны также соотношения тетраэдрита, секущего халькопирит-борнитовые агрегаты (фиг. 7в) и сурьмяных сульфосолей серебра с галенитом (фиг. 7г). Тонкие прожилки полибазита в галените указывают на его более позднее отложение. Кроме того, наблюдались своеобразные мирмекитовые структуры срастания галенита и пираргирита, которые возникли в результате замещения галенита пираргиритом (фиг. 7б). Нередко в интерстициях между миаргиритом и галенитом отлагалось самородное серебро. Таким образом, структурные соотношения минералов свидетельствуют о широком развитии в поздний период рудообразования явлений замещения и разъединения одних сульфидов другими. Это не позволяет отнести их к одной парагенетической ассоциации. Можно полагать, что в это время в изученных месторождениях образовалось, по крайней мере, несколько разновременных парагенетических ассоциаций: наиболее ранняя – пирит-сфалерит-блеклорудная (с борнитом и

халькопиритом), затем отлагалась галенит-блеклорудная ассоциация (возможно, одновременно с этими минералами произошло образование части борнита и халькопирита), а в конце процесса кристаллизовались блеклая руда, сульфосоли Ag, самородное Ag, слагающие наиболее позднюю парагенетическую ассоциацию.

Урановая минерализация представлена преимущественно кальцит-уранинитовой минеральной ассоциацией. Она детально изучена Г.А. Тананаевой, И.В. Мельниковым и др. Встречается настурит в тесном парагенезисе с кальцитом. Прожилки урановой смолки сопровождаются редкими выделениями кристаллов галенита. Реже наблюдалась марказит, тонкозернистый галенит и халькопирит в виде сферических почкообразных выделений. О.В. Жаркова (устное сообщение) указывает, что минеральный состав прожилков, содержащих урановую смолку, несколько меняется в зависимости от состава жил, которые они пересекают. Взаимоотношения настуритовых прожилков с сухими пленками самородного серебра

неясны. По Л.И. Лукину и О.В. Жарковой (1968), прожилки урановой смолки пересекают прожилки халцедоновидного кварца. По результатам изучения минерального состава руд можно выделить шесть минеральных парагенезисов, формирующихся в последовательности от ранних к поздним: 1) кварц-гематитовый; 2) ранних сульфидов (в основном медно-висмутовые руды); 3) барит-флюорит-сульфидный (преимущественно полиметаллические руды с серебром); 4) поздних сульфидов и сульфосолей (с этим комплексом связаны собственно серебряные и серебро-свинцовые руды); 5) кальцит-уранинитовый; 6) кварц-барит-флюорит-карбонатный. Первый и последний не создают промышленных руд.

ОСНОВНЫЕ ЭТАПЫ РАЗВИТИЯ СТРУКТУРЫ РУДНОГО ПОЛЯ И ВЛИЯНИЕ ДИНАМИЧЕСКИХ УСЛОВИЙ СРЕДЫ НА ПРОЦЕСС МИНЕРАЛООБРАЗОВАНИЯ

С учетом результатов анализа пространственной ориентировки прожилков и жил разного минерального состава проведено моделирование динамического режима среды минералообразования для различных периодов минерализации. Направления главных осей палеотектонических напряжений восстанавливались по пространственной ориентировке пары пересекающихся рудных прожилков выполнения одного типа минерализации. *A priori* предполагалось относительно "быстрое" выполнение приоткрывшейся трещины. Методом М.В. Гзовского (1975) восстанавливались на сетке Вульфа пространственные ориентировки триады главных осей напряжений и соответствующих им деформаций, которые помечались на стереограммах одноименным цифровым индексом. Например, пространственное положение осей главных деформирующих усилий A_2, B_2, C_2 – отражает направление дислокаций, существовавших в период образования прожилков ранних сульфидов, а осей A_4, B_4, C_4 – в период образования прожилков поздних сульфидов. Такие диаграммы отстраивались по каждому месторождению. Среди направлений, помеченных одноименным индексом, выбиралось усредненное для конкретного участка. Как правило, разброс от среднего направления был невелик, что свидетельствовало о небольших изменениях локальных деформаций на момент выполнения трещины. Пространственно-временные изменения направлений триад деформирующих усилий анализировались геометрическим методом (Малиновский, Чернышев, 1980) на обобщенных стереограммах, отражающих деформации: а) в рамках периода становления одного типа минерализации на одном месторождении; б) то же для всех типов минерализации; в) для всех типов минерализации рудного поля. По результатам геометрического анализа

четко выделяются два пояса осей C субмеридионального и северо-восточного (близкого к субширотному) направления и два пояса осей B – северо-восточного простирания, но обратных падений. Пространственное положение месторождений рудного узла контролируется разломами, преимущественно тех направлений, которые близки к ориентировке поясов осей B . Полюсы осей A (соответствуют напряжениям растяжения) концентрируются в юго-восточном и северо-западных секторах сводной стереограммы. Два пояса этих осей ложатся на дуги малого круга стереографической сетки. Последние образуют проекции с угловым радиусом $40^\circ - 50^\circ$ с пологой осью конуса погружающейся незначительно то в северо-западном, то в северо-восточном направлениях. Геометрическое положение осей C деформаций субмеридиональном поясе и осей B в северо-восточном поясе, падающем круто на северо-запад, а также некоторых осей A обусловлено влиянием регионального поля напряжений (близко к построению поля напряжений по региональным разломам). Поясы осей B и C северо-восточного простирания характеризуют деформации, вызванные локальными составляющими регионального поля. Анализируя положение полюсов осей B и C с одноименными индексами в поясах локальных полей, авторы пришли к выводу о смене положений этих осей в период становления одного типа минерализации. Деформационный механизм, в результате которого происходит закономерная смена осей B и C деформаций парных планов – маятниковый. Подобный механизм был обнаружен ранее (Злобина, 1991) на Меридиональной зоне и Новой Канимантуре, а также при изучении динамического режима современных рудообразующих систем на Курильских островах (Злобина и др., 1995).

Маятниковый механизм ответственен за сингуларную кинематику рудовмещающих разломов. Этот механизм свидетельствует также о событиях палеоземлетрясений, сопровождавших некоторые этапы рудообразования. В результате стереогеометрического анализа определен характер взаимосвязи регионального и локальных полей напряжений. При пульсационном проявлении во времени сжимающих усилий в субмеридиональном направлении происходило накопление упругой составляющей. Разгрузка могла осуществляться на хрупкие деформации сколов диагональных направлений и отрывов субмеридионального и близкого к нему ориентировок. Достаточно устойчивое положение осей A указывает на то, что в период релаксации регионального поля напряжений его локальные составляющие накапливали энергию растяжения. В этот период, очевидно, происходило незначительное приоткрывание стенок нарушений субширотного и близкого к нему направлений. Вдоль разломов последнего направления происходило в предрудный период излияние эф-

физивного материала и образование дайковых по-
лов. В разгруженных узлах, на пересечении раз-
ломов субширотного, северо-восточного, реже,
северо-западного направлений располагались цен-
тры извержений палеовулканов (фиг. 2). Хрупкие
деформации привели к изменению регионального
 поля напряжений, которое, вероятно, сопровожда-
лось выделением сейсмической энергии. Локаль-
ные поля напряжений усиливали деформацион-
ный процесс на отдельных участках за счет этой
сейсмической энергии. Оси сжатия таких локаль-
ных полей часто более круты, что может указы-
вать на сейсмическую активизацию более глубо-
ких локальных зон. Локальные поля напряжений
могут поддерживать вулканические извержения
(Гзовский, 1970). Изменение локальных полей
напряжений приводило к изменению пространст-
венной ориентировки главных сжимающих уси-
лий регионального поля. Качание плоскости BC
локальных деформаций по типу "маятника" про-
должалось до полного восстановления регио-
нального поля. Таким образом, кинематический
механизм "маятника" – продукт синэргетическо-
го развития геодинамической системы, приводя-
щий ее к равновесию.

В период образования кварц-гематитовых, кварц-пирит-халькопиритовых и барит-флюорит-халькопиритовых прожилков оси C дефор-
маций ориентированы в север-северо-западном и юг-юго-восточном направлениях. Преобладаю-
щим погружением осей C деформаций было юго-
восточное. При разгрузке напряжений регио-
нального поля активизировались локальные де-
формации сжатия в субширотном, реже субши-
ротном-северо-западном направлениях. Причем осущест-
влялось вращение плоскостей AC локаль-
ных деформаций в периоды от более раннего
минералообразования к более позднему как по час-
овой стрелке (месторождения Восточный Кани-
мантур, Замбарак), так и против часовой (место-
рождения Каптархона, Тарыэкан). Динамическая
обстановка процесса раннего минералообразова-
ния способствовала приоткрытию субширотных
тектонических нарушений и локализации в тре-
щинных нарушениях преимущественно этих на-
правлений кварц-гематитовой, кварц-сульфидной,
барит-флюорит-халькопиритовой минерализации.

В следующий период тектоно-динамические
условия резко изменились: главные направления
сжимающих усилий ориентированы преимущест-
венно на север-северо-восток и юг-юго-запад.
Эти условия сохранились более длительный пери-
од, за который формировались практически все
минеральные парагенезисы. Особенностью дина-
мической обстановки в этот период было более
крутое погружение осей C локальных деформаций:
угол погружения от 44° до 82° при сохраняю-
щейся их субширотной ориентировке. Подобная
ориентировка осей C может свидетельствовать о

преобладающих сбросо-сдвиговых перемещени-
ях тектонических блоков. Характер геометриче-
ского изменения силовых параметров локальных
полей напряжений обусловил иную кинематику.
Чем круче оси C , тем выше энергетические па-
раметры поля, тем большую область охватывают
хрупкие деформации.

Степень разрушения горных пород зависит от
близости "гипоцентра" дислокационного ме-
ханизма. Его можно выявить путем специального
анализа изменения положений осей C палеоде-
формаций. Стереогеометрическим путем опреде-
лялись в пространстве точки сопряжения пересе-
кающихся осей сжатия локальных полей напря-
жений, время действия которых совпадало с
формированием того или иного типа минерализа-
ции. То есть, анализировались пересечения осей
 C с одноименным цифровым индексом. В соот-
ветствии с маятниковой кинематикой, вполне ве-
роятно, что этим точкам сопряжения соответст-
вуют положения "гипоцентров" дислокационных
механизмов. Такие точки расположены в прост-
ранстве, ограничивающем область рудного поля
на глубинах от 0.5 до 6–8 км от современной днев-
ной поверхности. Так, один из "гипоцентров" рас-
полагается в области сопряжения Свинцового и
Адрасманского разломов (фиг. 2), вблизи место-
рождений Чукур-Джилга и Адрасман, у юго-вос-
точной границы Адрасманского палеовулкана.
Связанные с этим центром дислокации ответст-
венные за формирование тектонических структур,
вмещающих барит-флюорит-сидерит-галенит-
сфалеритовую минерализацию. Некк месторож-
дения Адрасман пространственно телескопирует-
ся в область "гипоцентра". Второй "гипоцентр"
дислокаций, сформировавших структуры для раз-
мещения кварц-гематитовых прожилков, распо-
лагается в зоне Кошмулинского разлома, южнее
месторождений Восточный и Западный Кани-
мантур, у южной границы Кушайнакского палео-
вулкана. Третий "гипоцентр" установлен вблизи
Адрасманского разлома, у месторождения Но-
вый Канимантур, у юго-западной границы Адрас-
манского палеовулкана. Событие этого дефор-
мационного процесса обусловило формирование
трещинных структур для кварц-сульфидных про-
жилков. Три "гипоцентра", которые удалось уста-
новить, могут свидетельствовать о том, что ран-
няя минерализация сопровождалась наиболее ин-
тенсивным деформационным процессом.

Таким образом, ранние минеральные параге-
незисы кварц-гематитовой (предрудной) ассоциа-
ции и ассоциаций ранних сульфидов (медно-вис-
мутовые руды, полиметаллические руды с сереб-
ром) формировались дважды при различных
тектоно-динамических условиях. При этом после-
довательность раннего минералообразования от
кварц-гематитового, медно-висмутового до ба-
рит-флюорит-сульфидного сохраняется. Но про-

цесс повторного проявления близких по составу минеральных парагенезисов сопровождался интенсивным метасоматическим преобразованием сформированных минеральных ассоциаций и вмещающих пород. Березитизация, окварцевание, хлоритизация происходили в основном вдоль тектонических проводников. Повторное образование ранних минеральных комплексов проявилось не везде одинаково: менее отчетливо на Восточном Канимансуре, более – на Новом Канимансуре, Меридиональной зоне, Адрасмане. На месторождении Адрасман медно-висмутовые руды залегают несколько выше, чем на Восточном Канимансуре. В условиях интенсивной хлоритизации сульфиды меди и цинка не образуются при формировании барит-флюорит-сульфидной минерализации. Повторная барит-флюорит-сульфидная ассоциация содержит, преимущественно сульфиды серебра и свинца.

В соответствии с размещением "гипоцентров", палеодислокаций можно предположить, что область, включающая месторождения рудного поля, оказалась в период раннего минералообразования в сейсмофокальной зоне. На завершающих этапах позднего рудообразования структуры месторождений с тектонических позиций были интенсивно проработаны.

Образование парагенезисов поздних сульфидов – кальцит-уранинитового и завершающего кварц-барит-флюорит-карбонатного – происходило преимущественно в условиях релаксации регионального поля напряжений и активизации локальных полей. Многочисленные малоамплитудные подвижки, вызванные возвратным кинематическим механизмом "маятника", обусловили развитие многочисленных систем трещин, сформировавших зоны повышенной проницаемости, благоприятные для размещения рудных столбов. А завершающее раздвигание стенок разломов, вовлеченных в кинематику маятника, оказалось благоприятным для формирования жилы в центре рудного столба. Кальцит-уранинитовая минерализация формировалась, по-видимому, вследствие проявления автономного источника и имела ограниченное распространение в рудном поле. В поверхностных условиях активность кислорода, вероятно, поддерживалась на постоянном уровне. Вместо уранинитов здесь развивается настурян. Тектоно-динамические условия среды характеризовались некоторым затуханием тектонической активности. Но возвратные подвижки вдоль разломов продолжались, о чем свидетельствуют положения осей С деформаций, отстроенные по со-проявлениям кальцит-смолковых прожилков.

Следует отметить, что рудообразование могло осуществляться при значительно более сложных, чем показано выше, условиях. Несомненны проявления неоднократных возвратных малоампли-

тудных перемещений блоков в каждый период минералообразования. В результате длительных многоплановых, локальных деформаций, вероятно, происходило более частое нарушение синергетического баланса рудообразующей системы. Это, по-видимому, являлось одной из причин изменения РТ-условий. Частые резкие снижения давления, сопровождающиеся скачкообразным изменением температуры, создавало термодинамический барьер для рудоотложения, приводило к явлению телескопирования. Вполне вероятно предположение о том, что повторное отложение первых двух минеральных парагенезисов связано не только с изменением характера регионального поля напряжений, но и в большей степени с дислокационным механизмом взаимодействия регионального и локальных полей. Дискретно-непрерывный процесс изменения динамических условий среды мог активно влиять на структуру флюидных потоков, поступавших в сферу рудоотложения. Закрытие каналов на одном участке и открытие на другом приводило к изменению соотношений конвективной и восходящей глубинной составляющих этих потоков и, как следствие, к различному минеральному составу "одностадийных" образований и различным сочетаниям разностадийных компонентов. С этим явлением связывается отличие минералого-geoхимических типов руд на сформированных месторождениях.

По результатам моделирования можно сделать общий вывод о том, что месторождения рудного поля формировались длительный промежуток времени, в условиях интенсивного деформационного процесса, вызванного палеоземлетрясениями.

К началу процесса рудообразования оформился каркас структуры как жесткая вулкано-тектоническая постройка, движения блоков которой сопровождались периферическим вулканизмом. Судя по расположению гипоцентров палеоземлетрясений, которые удалось восстановить, очаговыми их зонами в этот период являлись Кошмуринский, Канимансурский, Свинцовый и Карамазарский (фиг. 2) разломы. Вслед за инъекциями магмы осуществлялась транспортировка глубинных флюидов. Скорее всего, вдоль этих разломов продолжалась миграция очагов мелких автершоков. Непосредственно накануне каждого из землетрясений могло существовать перенапряженное состояние пород зон будущих автершоков. Некоторая часть энергии таких зон могла вызвать отток части флюидов из перенапряженных коллекторов в "свободные" зоны. Мгновенная разгрузка напряжений сопровождалась прогressiveм развитием палеодеформаций с образованием многочисленных трещин, в которые могла перераспределяться эта часть флюидов. Дислокационный маятниковый механизм способствовал изменению структуры флюидных потоков в различных участках Адрасман-Канимансурского

блока. Последним обстоятельством может быть объяснена некоторая ассинхронность образования аналогичных минеральных парагенезисов на различных месторождениях рудного поля.

Работа выполнена при финансовой поддержке Российского фонда фундаментальных исследований (проекты 98-05-64870 и 99-05-65640).

СПИСОК ЛИТЕРАТУРЫ

- Бакланов А.М., Байков В.Н., Краснов Е.Г., Мясников С.В.** Первичная зональность в районе месторождения Канимансур и прогнозирование скрытого оруденения на ее основе // Проблемы зональности эндогенных рудных месторождений и прогноз скрытого оруденения. М.: Наука, 1975. С. 216–225.
- Бортников Н.С., Коваленкер В.А., Сафонов Ю.Г., Тронева Н.В., Лапутина И.П., Раздолина Н.В.** Химический состав и условия образования Ag-Cu-Pb-Bi-сульфосолей в Канимансурском рудном поле // Изв. АН СССР. Сер. геол. 1985. № 9. С. 65–75.
- Бортников Н.С.** Парагенетический анализ минеральных ассоциаций в рудах гидротермальных месторождений цветных и благородных металлов: Автореф. дис. ... д-ра геол.-мин. наук. М.: ИГЕМ РАН, 1995. 54 с.
- Вольфсон Ф.И., Лукин Л.И.** Соотношение гидротермального уранового оруденения с эндогенным орудением других металлов в пределах рудных районов и полей // Геология гидротермальных урановых месторождений. М.: Наука, 1966. С. 396–430.
- Гзовский М.В.** Основы тектонофизики. М.: Наука, 1975.
- Гзовский М.В.** Развитие новых направлений в тектонофизике // Изв. АН СССР. Физика Земли. 1970. № 5. С. 51–84.
- Далимов Т.Н., Ганиев И.Н., Шпотова Л.В., Кадыров М.Х.** Геодинамика Тянь-Шаня. Ташкент: Университет, 1993.
- Злобина Т.М.** Моделирование структурных условий размещения руд в штокверке // Геология руд. месторождений. 1989. № 6. С. 83–94.
- Злобина Т.М.** Математические методы моделирования трещинных структур рудных месторождений. М.: Наука, 1991.
- Злобина Т.М., Злобин Т.К., Знаменский В.С., Сафонов Ю.Г., Чернышев В.Ф.** Геодинамический режим современных рудообразующих процессов в Курильской островной дуге // Тез. докл. IX Междунар. симпоз. по рудообразованию. (IAGOD). Пекин, 1995.
- Лукин Л.И.** Методы изучения структур постмагматических рудных месторождений. М.: Наука, 1986.
- Лукин Л.И., Жаркова О.Б.** Чукур-Джилгинское рудное поле // Особенности структур гидротермальных месторождений. М.: Наука, 1968. С. 91–107.
- Малиновский Е.П., Чернышев В.Ф.** Геометрический анализ структуры рудных месторождений в дислоцированных слоистых толщах // Эндогенные рудные месторождения. М.: Наука, 1980. С. 215–229.
- Некрасов Е.М.** Структурные особенности свинцово-цинкового месторождения Замбарак в восточном Карамазаре // Геология руд. месторождений. 1959. № 3. С. 63–73.
- Некрасов Е.М.** Структурные условия локализации жильных свинцово-цинковых месторождений. М.: Недра, 1980.
- Орлов И.И.** Структурные особенности серебряно-свинцового месторождения Кан-и-Мансур // Геология руд. месторождений. 1960. № 5. С. 94–106.
- Сафонов Ю.Г.** О стадийности формирования эндогенных месторождений Карамазара // Изв. АН СССР. Сер. геол. 1967. № 2. С. 12–23.
- Шихин Ю.С.** Геологическое картирование и оценка рудоносности разрывных нарушений. М.: Недра, 1991.
- Шихин Ю.С.** Состав горных пород как фактор контроля оруденения (на примере Казамазара) // Геология рудн. месторождений. 1992. № 3. С. 31–46.
- Bortnikov N.S., Prokofiev V.Yu., Naumov V.B.** The Cu-Bi-Ag-Pb deposition of metals // Source, transport and deposition of metals. Rotterdam: Bakema, 1991. P. 165–167.